

## II-13

## 活性汚泥の圧縮沉降

九州大学工学部 学生員 久保田 修  
九州大学工学部 正会員 粟谷 陽一  
九州大学工学部 正会員 楠田 哲也  
九州大学工学部 正会員 大石 京子

1. まえがき 現在、汚泥の処理・処分には、重力濃縮が広く利用されているが、汚泥の有機物含有率の増加により濃縮性が悪化し、次に続く汚泥の消化及び脱水等の操作に大きな影響を及ぼしている。エネルギー消費型の機械濃縮を避けたためにも凝集性を有する活性汚泥の圧縮沉降現象の解明が求められている。

本研究では、活性汚泥の圧縮沉降を力学的に把握するための汚泥固相に生じる応力即ち有効応力を液相に生じる過剰間隙水圧を考慮し、これに基づいた圧縮沉降の基礎式である透水係数、有効応力と透水に対する粒子変形及び固体分率との関係を調べ、さらに2つの方法により求めた汚泥の空隙率(固体分率)と透水係数及び有効応力との関係を調べてこれをもとに圧縮沉降のメカニズムを明らかにする。

2. 圧縮沉降の基礎式 圧縮沉降の基礎式は固相(汚泥の固体部分)と液相(汚泥の流体部分)とに分けると次に述べる様定められる。 (i)汚泥の性状は、均一である。(ii)汚泥の固体成分及び水の圧縮量は無視し得る。(iii)汚泥の間隙は、水で完全に飽和されている。(iv)汚泥中の水の挙動は、一軸的に行われることの多いレインルズ数は、固相にとどまらず液相にとっても十分(より大きい)。(v)汚泥の圧縮は一軸的に行われる。(vi)汚泥中の固相と液相間の相対速度は、汚泥全体の移動速度に左右されない。(vii)沈降容器に基づく壁効果を無視できる。

## ○運動方程式

$$\text{汚泥固相: } \frac{\partial P_s}{\partial x} - \left[ \frac{\mu}{K} \left( V_r - \frac{\epsilon}{1-\epsilon} V_s \right) \right] + (1-\epsilon)(P_s - P_e) g = 0 \quad \dots \dots (1)$$

$$\text{汚泥液相: } \frac{\partial P_e}{\partial x} + \left[ \frac{\mu}{K} \left( V_r - \frac{\epsilon}{1-\epsilon} V_s \right) \right] = 0 \quad (2)$$

## ○連続の式

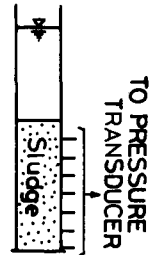
$$\text{汚泥固相: } \frac{\partial \epsilon}{\partial t} - \frac{\partial V_s}{\partial x} = 0 \quad \dots \dots (3)$$

$$\text{汚泥液相: } \frac{\partial \epsilon}{\partial t} + \frac{\partial V_s}{\partial x} = 0 \quad \dots \dots (4)$$

但し、又軸は、鉛直上方を正とし、 $\epsilon$ : 沈降した汚泥内の有効応力、 $V_s$ : 沈降した汚泥内の過剰間隙水圧、 $K$ : 透水係数、 $\mu$ : 汚泥液相の分子粘性係数、 $\epsilon$ : 空隙率、 $P_s$ : 汚泥液相の体積フラックス、 $P_e$ : 汚泥固相の体積フラックス、 $\rho_s$ : 汚泥液相の密度、 $\rho_e$ : 汚泥固相の密度である。

## 3. 実験装置及び方法

実験装置は、図1に示す様内径2.5 cm<sup>2</sup>(断面積3.63 cm<sup>2</sup>)、高さ3 m(總容量109 L)のアクリル樹脂を用いた。2の沈降筒には、過剰間隙水圧測定用の管(8 mm<sup>2</sup>)と圧力変換器を通して接続されている。実験試料は、図1 実験装置福岡市東部下水処理場の返送汚泥(5000~6000 ppm、比重1.6~1.8)を用いた。採取してえた汚泥を木洗し腐敗防止の為100 g/Lのトリクロロ酢酸(TCA)を汚泥のMLSSに対して約10%加えて攪拌して様子を汚泥とした。この汚泥を沈降筒に入れて実験を開始し、界面高さを各点に於ける水圧を測定した。その後予め沈降筒の内壁に外部より磁力を固定し適当な間隔で配置したマーカー(断面直径3 mm程度の円形のアルミニウム板)に端子3~4 mmのゲッキの帶を巻きつけ、汚泥密度に追従する物)に作用してある磁力を切ることにより汚泥とともに沈降させ、以後界面と各マーカーの高さを各点における水圧を測定した。ほどく沈降が完了した時点まで沈降した汚泥を数層に分割して採取し、各層の乾燥質量と乾燥密度を求めた。固体分率(空隙率)は、二種の方法を用いて求めた。第一は、採取した各層の汚泥の乾燥質量から求めたもの(以下とすると)であり、第二は、同じ汚泥を還留状態で35 mLより遠心分離器(3000回転×20分)かけて(約1360 G)求め



濃縮汚泥の体積より算出したもの（以下 $\delta'$ とする）である。この3000回転で20分と $\delta'$ の場合は、手め汚泥を遠心分離器にかけて3000回転の場合これ以上分離時間を持ばしても汚泥の固相体積成ほとんど変わらないことから定めた値である。

#### 4. 結果及び考察

図2、図3に透水係数とKozeny型の表現である $E^3/(1-E)^2$ との関係を示した。空隙率は、上記述べたように図2で $\delta'$ を、図3では $\delta'$ を用いた。図2においては、同一の $E^3/(1-E)^2$ の値の点で圧縮沉降の進行について透水係数が小さくなる（図2）、図3においては、 $\delta'$ を $E^3/(1-E)^2$ の値の点で透水係数が $E^3/(1-E)^2$ の関係として一義的に決定されることが解る。これは、透水係数が湿润状態にある粒子間の流作成過程の通りやすさを表す指標であるから、湿润状態の汚泥より算出した $\delta'$ の方は、その透水係数の概念をうまくうなづけておられるのであると思われる。このときの透水係数は、次のように与えられる。

$$\rho g K = \alpha \cdot \{ E^3 / (1 - E)^2 \}^{1.9} \quad \text{---(5)}$$

式(5)は、他の実験例においてもほとんど同じであり、 $\alpha = 6.0 \times 10^{-5}$   
 $7.0 \times 10^{-5}$ で一般性のある透水係数の表現式と見られる。

次に図4、図5に前述と同一例の有効応力と固体分率との関係を示した。両図とも固体分率が大きくなると、つまり汚泥底部においては界面附近と比較して有効応力が急増してくることが分る。

図5においては、固体分率（空隙率）が同じ値であるにもかかわらず沈降が進行するにつれて有効応力が小さくなる傾向にある。ところが図4においては、固体分率と有効応力との関係が一義的であるとして表現されている。このことは、有効応力が粒子の固体部分に対する主に伝達工本でいることを示唆している。このとき有効応力は、次のように与えられる。

$$\frac{P_s}{\rho g} = 5.33 \times 10^2 \{ (1 - \varepsilon) - (1 - \varepsilon_c) \}^{2.0} \quad \text{---(6)}$$

但し、 $(1 - \varepsilon_c)$ ：有効応力が生じ始めるときの固体分率、本例においては、 $(1 - \varepsilon_c) = 0.8 \times 10^{-2}$ である。式(6)の式形と指數は、前エフロップを用いた実験におけるものと同一であり、有効応力の大きさと $\delta'$ とは一般性のある表現形式及び値であると思われる。しかし活性汚泥には応力のヒステリシスが存在するため以前に有効応力を受けたときに粒子を重ねたときに異なる粒子では有効応力のあらわれ方方が少々異る例があり、この点については、今後データの蓄積を計る必要がある。

5. まとめ 実際の汚泥では、バクテリア等の作用によりガス発生、及び水に統く汚泥の浮上式みられるので、これについても検討を加えていく予定である。

〔参考文献〕補田、吉賀、栗谷、汚泥の沈降濃縮に関する研究：土木学会論文報告集、第294号、1980年2月、P59～P71

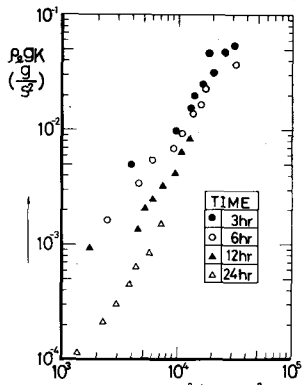


図2 透水係数と空隙率(Kozeny型)との関係

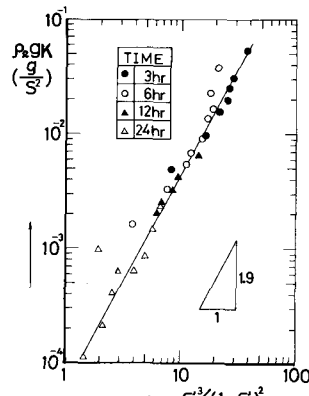


図3 透水係数と空隙率(Kozeny型)との関係

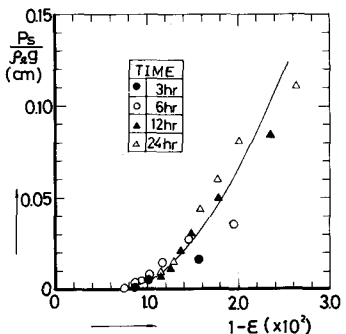


図4 有効応力と固体分率との関係

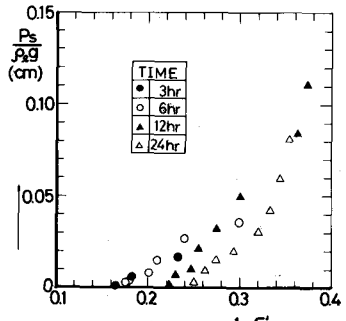


図5 有効応力と固体分率との関係